

# I - 30 斜交異方性平行四辺形板理論による斜格子斜析構の解析的研究

・桜田機械工業株式会社 正員 藤尾武明  
名古屋大学工学部 正員 成岡昌夫

1. 斜交異方性平行四辺形板の曲げ理論によると、斜格子斜析構の数値解析法は、すでに福知、成岡らによって提案され、横柵が主柵に斜交する斜格子斜析構のアクリライト模型によつて行つた実験値と、計算値とが比較検討され、その妥当性が確かめられた。(土木学会論文集第78号[昭37.1]、および Bauing.)

解析法は、相対する二辺で単純支持され、他の二辺で縁柵支持の斜交異方性平行四辺形板(Fig-1)を skew network で覆い、9個の格子点に關して階差方程式が誘導されてゐる。この階差方程式は、次の6種の特性値で構成され

ている。

$$J = S^4 K^4 E J_R / B_x \lambda_y \quad \lambda_x = 2 K \lambda_y / (B_x B_y)^{1/2}$$

$$d = (B_y / B_x)^{1/2} \quad K = \lambda_y / \lambda_x$$

$$S = \sin \phi \quad C = \cos \phi$$

したがつて、斜析構を解析するには、まず与えられた構造寸法より、 $x$ ,  $y$  方向の単位中当りの曲げ剛度  $B_x$ ,  $B_y$  を求め、全構造を適当な network に分割して  $\lambda_x$ ,  $\lambda_y$  を定める。次にねじり剛度係数  $d$  の値を仮定し、与えられた  $J$ ,  $\phi$  の各値を用いて、network の各点に對し階差方程式を適用して、

stiffness matrix を求め、これより flexibility matrix を計算し、右辺の係數を乗じてタワミの影響係數が得られる。これより、主柵方向の曲げモーメント影響係數は次式により求まる。

$$M_x = -\frac{K^2}{\lambda_y^2} B_x (w_i' - 2w_0 + w_i)$$

## 2. 数値計算に用いた network

は Fig-2 に示すよくなり縦横 8, 8 等分とし、上記の特性値は次の各組合せとした。

$$J = 0$$

$$d = 0, \frac{1}{2}, 1$$

$$d = 1, \frac{1}{4}, \frac{1}{9}$$

$$K = 1$$

$$\phi = 30^\circ, 45^\circ, 60^\circ, 90^\circ \text{ (直柵)}$$

なお、階差方程式における左辺の係數計算から主柵方向の曲げモーメント  $M_x$  を求めるまでの一連の計算は、すべて電子計算機 NEAC-2203 によつた。

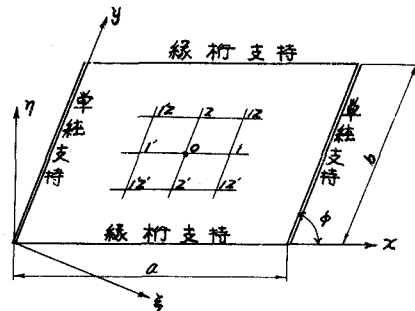


Fig.-1

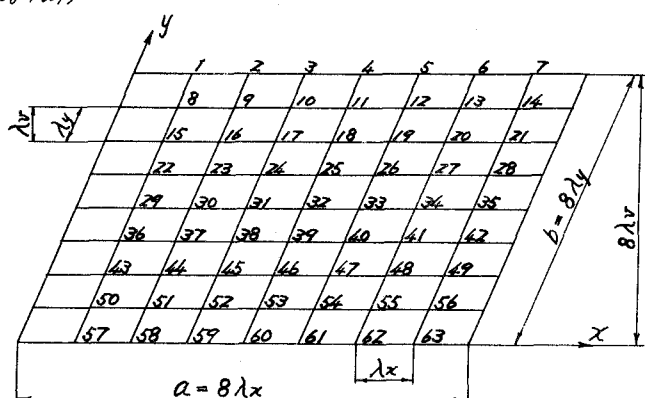


Fig.-2

さて、得られた主軸方向の曲げモーメントの影響係数をもとにし、 $J=0, \alpha=0, d=1$   
 $K=1, \phi=30^\circ, 45^\circ, 60^\circ, 90^\circ$  の各場合のスパン中央点 netpoint 4, 11, 18, 25, 32 における力学的な性状について考察する。なお、ここで対象とする荷重は線荷重（支承に平行に載荷）と等分布荷重であり、影響係数におけるスパン方向の曲げモーメント  $M_x$  は集中荷重に対する  $P/K'$  ( $K' = \lambda v / \lambda_s$ ) として示されているから、線荷重に対しても  $\lambda v$ 、等分布荷重  $\lambda_s$  に対しては  $\lambda v / \lambda_s$  を各 netpoint の格差荷重とする。これを影響係数の値に乘じてその和を求める。このようにして求めた  $M_x$  もとともに、スパン中央点の主軸方向の曲げモーメントが斜角中の影響によって、どのように変動するかを示したのが Fig.-3 (線荷重), Fig.-4 (等分布荷重) である。シートより次のことがわかる。

i) netpoint 4, 11, 18 の曲げモーメント  $M_x$  は、 $\phi = 45^\circ$  までは斜角中の減少とともに、 $M_x$  は増加し、 $\phi = 45^\circ$  で最少となり、その後、斜角の増大につれて  $M_x$  も増加する。逆にこれは、斜角中の減少ほど、 $M_x$  の常に減少するわけではないことを示すものであつて、注目すべき値である。たとえば、 $\phi = 90^\circ$  (直軸橋) に対する  $\phi = 30^\circ$  の  $M_x$  の増加率を調べると、net-work 4 で、線荷重に対し約 20%，等分布荷重に対し約 40% 増である。

ii) network 25, 32 では、斜角中の増大とともに  $M_x$  も増加を示さない。netpoint 25 で  $30^\circ \leq \phi \leq 45^\circ$  の場合は、 $M_x$  の変動はほとんどなく、ほぼ一定と考えられる。 $\phi \geq 45^\circ$  では、両曲線は一様な経路をたどり、 $\phi$  の増大につれて、 $M_x$  はほぼ同じとなる。

一般に、曲げモーメント  $M_x$  は、内部点におけるほど、斜角の減少につれて減少度も大きいか、板縁に近い部分では、逆に増加を示す場合もあることがわかる。

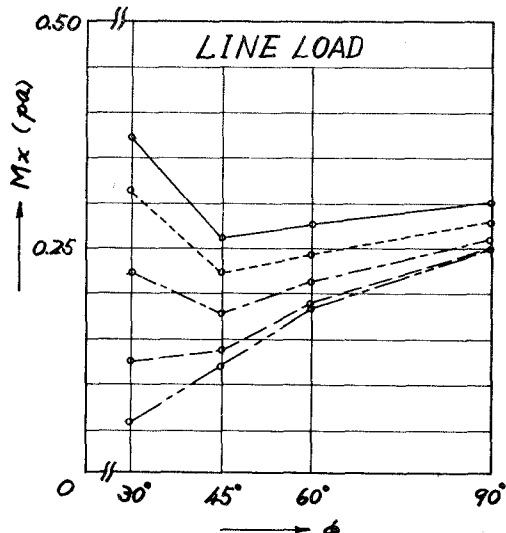


Fig.-3

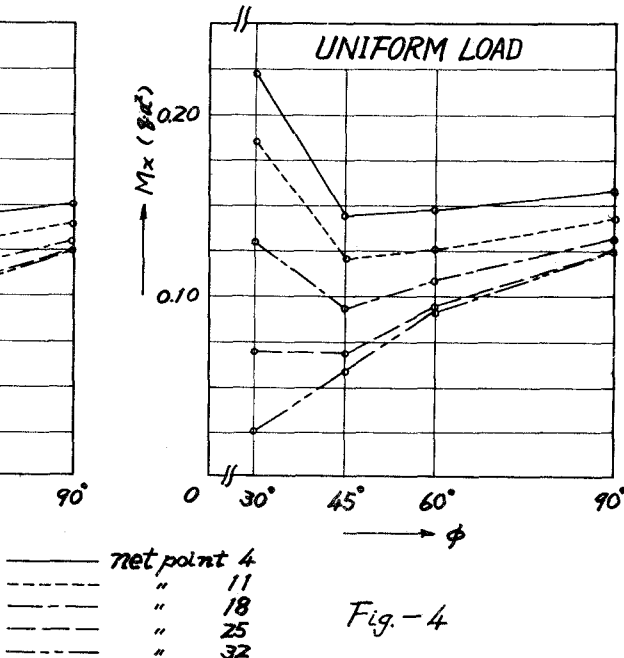


Fig.-4